

# بررسی نحوه گسترش ترک‌های بالا به پایین<sup>۱</sup> (TDC) در روسازی‌های آسفالتی، با استفاده از فرضیه‌ی مکانیک شکست

منصور فخری<sup>۱</sup>، مهدی فرخی<sup>۲\*</sup>

۱- استادیار دانشکده‌ی عمران دانشگاه خواجه نصیرالدین طوسی

۲- دانشجوی دوره‌ی دکتری راه و ترابری، دانشگاه تربیت مدرس

fakhri@kntu.ac.ir

(دریافت مقاله: خرداد ۱۳۸۵، دریافت پذیرش: مهر ۱۳۸۶)

**چکیده**- خستگی عبارت است از پدیده‌ی شکست بر اثر تکرار بار، که تنش ایجاد شده توسط این بار ممکن است حتی به مراتب کوچکتر از مقاومت نهایی مصالح باشد. ترک‌های ناشی از خستگی، در مقاطع آسفالتی، با توجه به مکان پیدایش و نحوه گسترش آنها دو دسته است. دسته‌ی اول ترک‌هایی است که در بخش پایینی مقاطع آسفالتی پدید می‌آیند و سپس با تکرار بار به سمت بالا گسترش می‌یابند. پیدایش این نوع ترک‌ها در مقاطع آسفالتی با ضخامت کم، رایج است. دسته دوم که در روسازی‌های ضخیم امکان پیدایش بیشتری دارند، از سطح روسازی، شروع شده و به سمت پایین گسترش می‌یابند. این دسته از ترک‌ها، نسبت به دسته‌ی اول تاکنون کمتر مورد توجه و مطالعه قرار گرفته‌اند. یکی از روش‌های متدالول تحلیل و بررسی ترک‌های ناشی از خستگی، روش مکانیک شکست است که در آن، گسیختگی حاصل از خستگی آسفالت، از آغاز ترک و پیشروی آن در ضخامت آسفالت، به تعداد دفعات بارگذاری ارتباط داده می‌شود. در این پژوهش، برای شناخت بهتر و درک بیشتر نحوه گسترش ترک‌های روبه پایین و پارامترهای مؤثر در آن، از روش مکانیک شکست استفاده شده و پدیده‌ی ترک و نحوه پیشروی آن در روسازی، تحلیل نظری می‌شود و نمودارهایی که نشانگر طول ترک بر حسب تعداد دفعات تکرار بار است برای حالات مختلف مشخصات مصالح و بارگذاری، استخراج شده است. نتایج نشان داد که با افزایش فاصله‌ی بار از محل ابتدای ترک ایجاد شده، مقادیر ضربی شدت تنش در مد I و مد II افزایش می‌یابد. همچنین افزایش شیب سختی بتن آسفالتی ناشی از اختلاف دما بی سطح پایینی و بالایی و یا افزایش اختلاف سختی لایه‌ی بتن آسفالتی و لایه‌ی اساس، باعث افزایش ضربی شدت تنش می‌شود.

**کلید واژگان:** روسازی، آسفالت، ترک‌های Top Down، رشد ترک، مکانیک شکست

1. Top Down Cracking

بازدید از نمونه‌ای مغزه‌ای گرفته شده، نشان می‌دهد که بر خلاف ترک‌های خستگی که از کف لایه‌ی آسفالت شروع می‌شود، این ترک‌ها به ندرت به انتهای لایه‌ی آسفالت می‌رسند. در گروه تحقیقاتی راه مینسوتا Mn/Road مشاهده شده است که ترک‌های طولی عمود بر لبه ترک‌های عرضی روسازی و در مسیر چرخ‌ها تشکیل می‌شود و گسترش پیدا می‌کند تا ترک‌ها ناگهان به هم می‌رسند و به صورت یک سلول کامل ترک در می‌آیند.<sup>[۳]</sup> برای بررسی این نوع ترک‌ها، مطالعات جامع و کاملی انجام شده است و محققان نتیجه گرفته‌اند که روش‌های موجود که برای آنالیز روسازی وجود دارد، نمی‌تواند ترک‌های سطحی را توجیه کند<sup>[۳]</sup> بنابراین فرضیات مختلفی برای تشریح آن مطرح شده است. یکی از فرضیاتی که بسیار موردانتظار است این است که ممکن است پیدایش این ترک‌ها به‌واسطه بار چرخ وسایل نقلیه‌ی عبوری باشد. ابزار تحلیل موجود برای طرح روسازی، و بررسی عملکرد آن بر این اساس استوار است که توزیع تنش‌ها بین چرخ و روسازی، یکنواخت است. تحقیقات اخیر روی تنش‌های نزدیک به سطح بارگذاری، نشان می‌دهد که چرخهای کامیون‌ها می‌توانند نیروهای مماسی قابل ملاحظه‌ای در سطح روسازی ایجاد کند.<sup>[۳]</sup> بررسی بزرگی این نیروها نشان می‌دهد که این نیروها عامل مهمی در پیدایش تنشهای برشی، کشش سطحی است و گستگی‌های موضعی را نزدیک سطح روسازی ایجاد می‌کنند که منجر به رشد ترک‌های بالابه پایین (TDC) می‌شود.<sup>[۳]</sup>

## ۱- مقدمه

استفاده نکردن از روسازی‌های مناسب، باعث پیدایش شکستهای برشی، تغییر شکل‌های بیش از اندازه، و در نتیجه ناهمواری سطحی در روسازی می‌شود. برای جلوگیری از این مشکلات، لازم است تنش‌های ناشی از بار مرکز زیر چرخ‌های وسایل نقلیه، با قرار دادن لایه‌هایی از مصالح مرغوب با مقاومت زیاد، تا رسیدن به حد تحمل خاک بستر روسازی، کاسته شود. جنس این لایه‌ها باید طوری باشد که اولاً انتقال بار و کاهش تنش و ثانیاً تحمل تنش‌ها در خود لایه را تأمین کند. شدت تنش‌های فشاری قائم که در اثر بارگذاری در یک توده‌ی خاک بوجود می‌آید، در نقاط مختلف متفاوت است.

در اثر بارگذاری روسازی، لایه‌ها تغییر شکل داده و در آن‌ها تنش‌های کششی و فشاری به وجود می‌آید. هر گاه شدت تنش‌های ایجاد شده در یک لایه‌ی روسازی، از میزان استقامت مصالح آن لایه بیشتر شود، سبب شکست و ترک‌خوردگی آن لایه می‌شود. بنابراین جنس و ضخامت لایه‌های روسازی که از مصالح قیری و یا سیمانی ساخته می‌شود باید طوری انتخاب شوند که در برابر تنش‌های بوجود آمده در آن‌ها مقاومت کنند [۱].

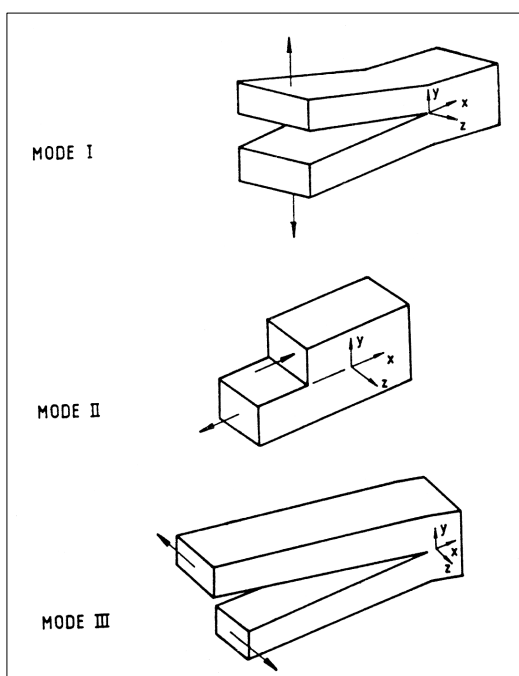
## ۲- عوامل پیدایش ترک‌های سطحی

تحقیقات نشان می‌دهد که ترک‌های متعدد طولی در سطح روسازی وجود دارد که عمق آن‌ها کمتر از ضخامت لایه‌ی آسفالتی است و می‌تواند مؤید این واقعیت باشد که ترک‌ها می‌توانند از سطح آغاز شوند<sup>[۲]</sup>. ترک‌های سطحی به صورت خیلی آشکار، به موازات مسیر چرخ‌ها در روسازی بتن آسفالتی ایجاد می‌شود و محل آن‌ها معمولاً خارج از مسیر چرخ و به موازات لبه‌ی آن است.

جدا می‌شوند و به شکل قراردادی با I نشان داده می‌شود، نوع (II) روش سُر خوردن یا برش در صفحه که در آن سطوح ترک روی یکدیگر در راستای عمود بر لبه‌ی جلویی ترک، سُر می‌خورند و (III) روش پارگی یا برش خلاف صفحه‌ای که در آن سطوح ترک نسبت به یکدیگر به شکل موازی با لبه‌ی جلویی ترک حرکت می‌کنند، است. برهمنگذاری این سه روش برای توصیف بیشتر حالات عمومی و کلی تغییر سطح ترک، کافی است [۶].



شکل ۱ ترک خوردنگی از بالا به پایین در یک نمونه آسفالت [۴]



شکل ۲ روش‌های اصلی بارگذاری و جایه‌جایی‌های مربوطه‌ی سطح ترک [۶]

یکی دیگر از عوامل مهم مربوط به TDC پدیده‌ی جدا شدنگی<sup>۱</sup> است [۲].

از مطالب ذکر شده می‌توان عوامل مؤثر بر پیدایش TDC را به چهار دسته طبقه‌بندی کرد؛ اندرکنش سه بعدی چرخ و روسازی، نیروی اصطکاک، تغییرات درجه‌ی حرارت و جدا شدنگی.

### ۳- انواع تغییر شکل نوک ترک

اختلاف بین یک قطعه ترک دار با قطعه‌ی دیگر، در میزان پارامتر میدان تنش K است، که ضریب شدت تنش نامیده می‌شود. اصولاً K به عنوان ضریب درجه‌بندی به کار می‌رود که میزان شدت تنش رأس ترک را تعریف می‌کند [۵].

$K_I$  ،  $K_{II}$  و  $K_{III}$  ضرایب شدت تنش<sup>۲</sup> است که مربوط به سه نوع پایه‌ی تغییر مکان سطح ترک است. این سه نوع، در شکل ۲ نشان داده شده‌اند. نوع (I) نوع کثیشی یا باز شدن، که در آن سطوح ترک به طور مستقیم از هم

1. Segregation  
2. Stress intensity factors

می‌شوند که این پارامترها در مورد آسفالت به درصد قیر، درصد فضای خالی مخلوط، درصد فیلر، نوع قیر، درجهٔ حرارت آزمایش و... وابسته است. عموماً برای به‌دست آوردن مقادیر عددی  $A$  و  $n$  گسترش ترک در یک تیر آسفالتی تحت بارگذاری و باربرداری، بررسی می‌شود. اما روابط ساده‌ای نیز برای پرهیز از آزمایشات وقت‌گیر و پرزیمه توسط محققین ارائه شده است [۶].

$$n = \frac{2}{m}$$

$$n = 1,558 - 0,401 \log A$$

در این روابط که توسط Lytton پیشنهاد شده،  $m$  برابر با شب منحنی لگاریتم مدول الاستیسیته، در مقابل لگاریتم زمان بارگذاری است. با انتگرال‌گیری از رابطهٔ (۱)، تعداد دفعات بارگذاری که باعث افزایش طول ترک از  $C_0$  به  $C_1$  می‌شود، به‌دست می‌آید.

$$N = \int_{C_0}^{C_1} \frac{dc}{A(k_{(c)})^n} \quad (2)$$

همان‌طور که ملاحظه می‌شود، محاسبه‌ی انتگرال بالا بستگی به به‌دست آوردن تابع فاکتور تشدید تنش بر حسب طول ترک دارد. روش‌های گوناگونی برای محاسبهٔ  $K$  وجود دارد که از میان آن‌ها، نتایج به‌دست آمده از روش اجزاء محدود، دقیق‌تر از سایر روش‌ها است. به همین خاطر در این پژوهش از این روش برای محاسبهٔ  $K$  استفاده شده است.

حال اول: در این حالت، ترک در اثر تغییرات درجهٔ حرارت، انسباط و انقباض مصالح، ایجاد و سپس در اثر خمش ناشی از بارگذاری و عبور ترافیک، در لایه گسترش می‌یابد.

حال دوم: در این حالت، ترک در اثر تنش‌های نیروهای برشی حاصل از بارگذاری و عبور ترافیک ایجاد و سپس در لایه گسترش می‌یابد.

حال سوم: در این حالت، ترک در اثر تنش‌های سطحی افقی بین چرخ و سطح رو سازی حاصل از بارگذاری و عبور ترافیک، ایجاد و سپس در لایه گسترش می‌یابد. با توجه به مطالب بالا چنین استنباط می‌شود که ترک در هریک از حالات بالا تحت تأثیر طیف خاصی از تنش-ها و یا کرنش‌ها که در اثر عوامل خارجی در رو سازی به وجود می‌آید، ایجاد و گسترش یافته و در بین این حالات، ترک‌های ناشی از حالات I و II در رو سازی بیشتر ملاحظه می‌شوند [۷].

## ۵- قوانین گسترش ترک در مصالح

در سال ۱۹۶۳ میلادی، آقایان پاریس و اردوگان پس از انجام آزمایشات متعدد، روی مصالح به این نتیجه رسیدند که سرعت گسترش ترک در سازه را می‌توان بر حسب ضریب شدت تنش و خصوصیات فنی مصالح با رابطهٔ (۱) توصیف کرد [۸].

$$\frac{dc}{dN} = AK^n \quad (1)$$

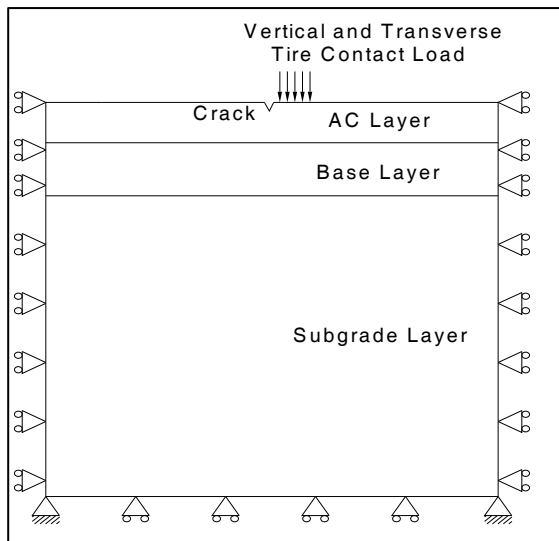
در رابطهٔ (۱)  $\frac{dc}{dN}$  نسبت افزایش طول ترک در هر سیکل بارگذاری،  $K$  ضریب شدت تنش و  $A$  و  $N$  ثابت‌های مربوط به مصالح هستند که از طریق آزمایش تعیین

سیستم ساختمانی روسازی به صورت چهار لایه الاستیک خطی کاملاً چسبیده در نظر گرفته شد:

- (الف) ضخامت بتن آسفالتی متغیر(۲۰، ۱۰ و ۲۵ سانتی متر)
- (ب) اساس ۳۰ سانتی متر
- (ج) لایه های خاکریز به ضخامت ۲/۵ متر

### ۶-۳- مدل سازی شرایط موزی

همان طور که اشاره شد، مدل سازی به صورت دو بعدی انجام شده است. در تمام مدل های ساخته شده، کف لایه سابکرید به صورت کامل بسته شد تا از هر گونه حرکت قائم و افقی آن جلوگیری شود. گره های محیط پیرامون مدل در مقابل حرکت افقی بسته شده و حرکت قائم آن میسر است.



شکل ۳ مدل سازی شرایط موزی

### ۶-۴- مشخصات مصالح

با توجه به این که از روش تحلیل الاستیک خطی برای مقطع ترک خورده استفاده شده، پارامترهای الاستیک مصالح مد نظر

## ۶- مدل سازی عددی

### ۶-۱- مقدمه

در این بخش با استفاده از روش اجزاء محدود و نرم افزار ABAQUS یک روسازی ترک خورده که تحت بارگذاری ناشی از چرخ قرار دارد، بررسی می شود. با توجه به این که هدف از این پژوهش بررسی سازوکار ترک در عمق لایه آسفالتی است، مسئله به صورت دو بعدی مدل می شود و در مدل سازی، از المان های دو بعدی چهارگرهای (C2D4)<sup>۱</sup> از خانواده Solid استفاده می شود. این المان، یکی از المان های رایج است که در بیشتر مدل سازی ها و تحقیقات از آن استفاده می شود.

شبیه سازی شرایط موزی و بارگذاری ها با توجه به توصیه های موجود در این زمینه انجام می شود تا بهترین تطابق را با شرایط واقعی داشته باشد.

تمرکز تنش در اطراف ترک ایجاد می کند که از تعداد المان ها و گره های بیشتری در اطراف ترک استفاده شود، بدیهی است که این موضوع سبب افزایش زمان محاسباتی توسط کامپیوتر می شود، پس ابعاد المان های بهینه با روش سعی و خطا، در نظر گرفته شده اند. در مدل سازی با استفاده از نرم افزار ABAQUS با زون بندی مدل و تقسیم آن به نواحی مختلف و استفاده از مش با ابعاد متفاوت، در هریک از این نواحی، سعی شده علاوه بر حفظ دقت محاسبات، زمان محاسبات کمتر شود.

### ۶-۲- مدل ساختمانی روسازی

ابعاد مدل به گونه ای انتخاب شده است که مقطع عرضی چرخ به طور کامل و جامع در آن جا بگیرد و امکان جابه جایی عرضی آن نیز با توجه به نوع تحلیل های مورد نظر، موجود باشد.

1. Continuum 2 Dimension 4 Nodes

سانتی‌متر از ترک قرار گیرند. برای مدل‌سازی، ضخامت لایه‌ی بتن آسفالتی ۲۰ سانتی‌متر در نظر گرفته شده است. شکل‌های شماره ۴ و ۵، تغییرات ضریب شدت تنش مدیک  $K_I$  را بر اساس طول ترک، برای هر یک از این موقعیت‌ها نشان می‌دهد.

قرار گرفته و مقادیر مدلول الاستیسیته و ضریب پواسون مصالح، مطابق جدول ۱ در نظر گرفته شده‌اند. در ضمن با توجه به مقادیری که برای مدلول الاستیسیته آسفالت در نظر گرفته شده، مقادیر پارامترهای  $n$  و  $A$  که در قانون پاریس برای تعیین تعداد تکرار بار بدست می‌آید، از نتایج آزمایشات انجام شده که توسط اداره حمل و نقل ایالت فلوریدا انجام شده [۱۰] برداشت شده است.

جدول ۱ مشخصات مصالح مورد استفاده

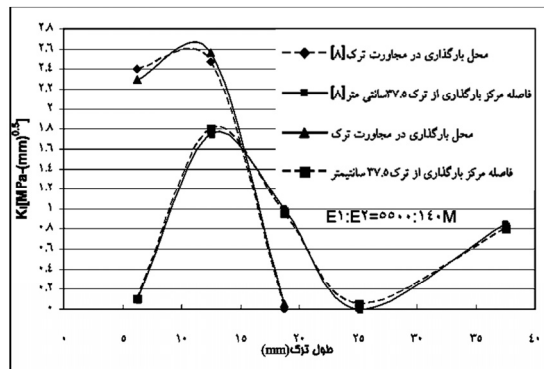
مصالح	آسفالت(۱)	آسفالت(۲)	اساس(۱)	اساس(۲)	لایه‌های خاکریز
نوع مصالح در نظر گرفته شده	الاستیک	الاستیک	الاستیک	الاستیک	الاستیک
مدول الاستیسیته (MPa)	۵۵۰۰	۸۲۷۵	۱۴۰	۳۰۰	۱۰۰
ضریب پواسون، $\nu$	۰/۳۵	۰/۳۵	۰/۴	۰/۴	۰/۴۵
پارامترهای شکست مصالح	A	$۸۲/۳*10^{-6}$			
	n	۳/۷۹			

## ۷- نتایج مدل‌سازی

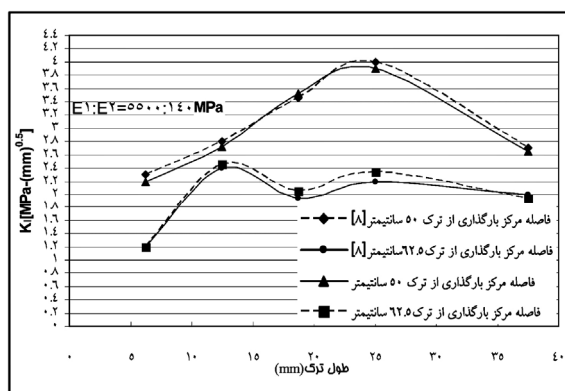
با بررسی نتایج مشخص می‌شود که با توجه به انتخاب ابعاد مناسب مدل و المانها، نتایج بدست آمده تطابق نسبتاً مناسبی با نتایج ارائه شده در مرجع [۹] دارد.

۷-۱- آنالیز مدل برای تعیین تأثیر موقعیت بارگذاری روی تنش‌های اطراف نوک ترک و اعتبار سنجی مدل

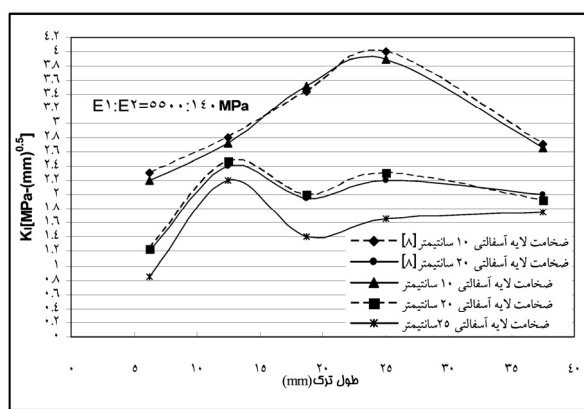
روی مدل طرح شده، آنالیزی برای تعیین اثر موقعیت بارگذاری روی مقادیر تنش، در اطراف نوک ترک اعمال شده است، بنابراین محل اعمال بار در مدل، در چهار موقعیت مختلف قرار داده شده، که یکی از آن‌ها در مجاورت ترک و بقیه آنها به‌گونه‌ای در نظر گرفته شده‌اند که محل مرکز بارگذاری به فواصل ۶۲/۵، ۳۷/۵، ۵۰، ۳۷/۵



شکل ۴ تأثیر موقعیت بارگذاری، بر روی تنש‌های اطراف نوک ترک(ضخامت لایه‌ی بتن آسفالتی، ۲۰ سانتی‌متر، E1 مدول الاستیسیته‌ی آسفالت و E2 مدول الاستیسیته‌ی اساس)



شکل ۵ تأثیر موقعیت بارگذاری، بر روی تنش‌های اطراف نوک ترک(ضخامت لایه‌ی بتن آسفالتی، ۲۰ سانتی‌متر)



شکل ۶ تأثیر ضخامت لایه‌ی بتن آسفالتی روی تنش‌های اطراف نوک ترک(فاصله‌ی مرکز بار از ترک ۶۲.۵ سانتی‌متر است)

### ۲-۳-۷-آنالیز مدل برای تعیین اثر شیب دما در لایه‌ی بتن آسفالتی، روی تنش‌های اطراف نوک ترک

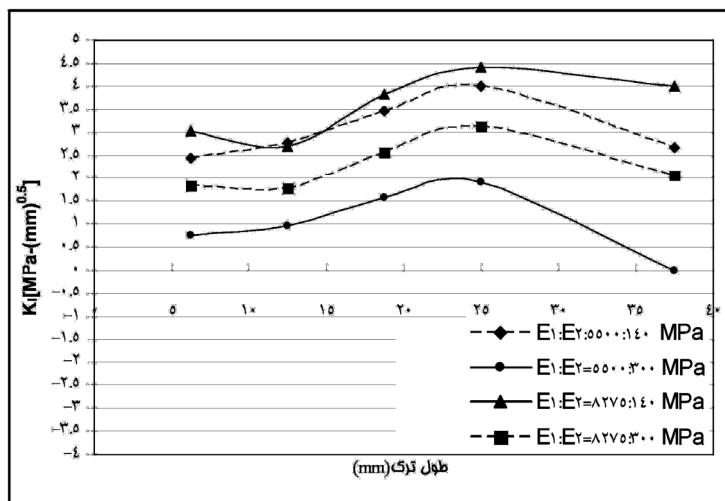
برای تعیین اثر تغییرات دما روی مدل، دو حالت مختلف در نظر گرفته شده است، در حالت اول، پخش دما در ضخامت لایه‌ی بتن آسفالتی ثابت است و در حالت دوم فرض می‌شود، سطح روسازی به سرعت گرم شده است. این حالت در ساعت ابتدایی طلوع آفتاب، بروز می‌کند. در این حالت اختلاف دمایی تارهای بالایی و پایینی لایه‌ی آسفالتی، ۲۵ درجه‌ی سانتی‌گراد در نظر گرفته شده است. در هر دو حالت، موقعیت مرکز بارگذاری در فاصله‌ی ۷۵ سانتی‌متری ترک قرار دارد. در شکل ۷، تغییرات ضربی شدت تنش مدیک  $K_I$ -، بر اساس طول ترک برای هر یک از این حالت‌ها نشان داده شده است.

همان‌طورکه از شکل ۷ مشخص است، شیب دما در ضخامت لایه‌ی بتن آسفالتی باعث افزایش مقدار ضربی شدت تنش می‌ود

### ۲-۴-آنالیز مدل برای تعیین تأثیر ضخامت لایه‌ی بتن آسفالتی روی تنش‌های اطراف نوک ترک و اعتبارسنجی مدل

روی مدل، آنالیزی برای تعیین اثر ضخامت لایه‌ی بتن آسفالتی روی مقادیر تنش در اطراف نوک ترک انجام شده است، بنابراین سه عدد ۱۰، ۲۰ و ۲۵ سانتی‌متر برای ضخامت روسازی انتخاب شده است. در شکل شماره‌ی ۶ تغییرات ضربی شدت تنش مدیک  $K_I$ -، بر اساس طول ترک، برای هر یک از این ضخامت‌ها نشان داده شده است. در ضمن نتایج به دست آمده برای ضخامت‌های ۱۰ و ۲۰ سانتی‌متر با نتایج بدست آمده توسط سایر محققین، مقایسه شده است.

همان‌طورکه شکل ۶ نشان می‌دهد، با افزایش ضخامت لایه‌ی بتن آسفالتی مقدار ضربی شدت تنش کاهش می-یابد.



شکل ۸ تأثیر ضربی الاستیسته‌ی لایه‌ی اساس روی تنش‌های اطراف نوک‌ترک (ضخامت لایه‌ی بتن آسفالتی، ۱۰ سانتی‌متر و فاصله‌ی مرکز بارگذاری از ترک، ۶۲/۵ سانتی‌متر) است

در شکل ۹ تغییرات ضریب شدت تنش مددو  $K_{II}$  بر اساس طول ترک برای دو نسبت مختلف ضریب الاستیسیته لایه‌ی آسفالتی و لایه‌ی اساس نشان داده شده است. در ضمن، مقادیر به دست آمده با نتایج بدست آمده توسط سایر محققین مقایسه شده است. همان‌طور که از شکل ۹ مشخص است، با افزایش طول ترک، مقدار ضریب شدت تنش مددوم به‌طور پیوسته افزایش می‌یابد.

### ۸-محاسبه‌ی ضریب $K$ معادل

با توجه به این‌که سازوکار ترک، ترکیبی از مدهای یک و دو است، برای استفاده از رابطه‌ی قانون گسترش ترک پاریس، باید مقدار  $K$  معادل را که ترکیبی از این دو مدد است، محاسبه کرده و در رابطه‌ی مذکور قرار داد. برای محاسبه‌ی  $K$  معادل، از رابطه‌ی زیر استفاده شده است.

$$K = \sqrt{JE} \quad (3)$$

مقدار انتگرال  $J$  را می‌توان از رابطه‌ی زیر محاسبه کرد:

$$J = \frac{(K_I^2 + K_{II}^2)(1-\nu^2)}{E} \quad (4)$$

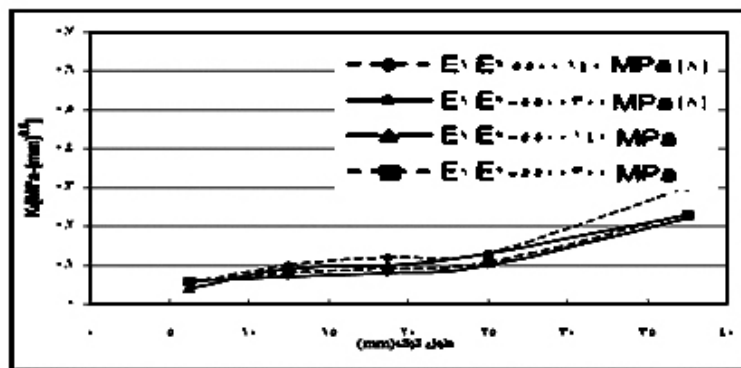
که در آن:

### ۴-۴-آنالیز مدل برای تعیین اثر ضریب الاستیسیته لایه‌ی اساس روی تنش‌های اطراف نوک ترک

برای تعیین اثر نسبت ضریب الاستیسیته لایه‌ی آسفالتی به لایه‌ی اساس، چهار نسبت مختلف در نظر گرفته شده و برای هریک از آن‌ها آنالیز انجام شده، که در شکل ۸ خلاصه‌ی نتایج به دست آمده نشان داده شده است. همان‌طور که از شکل ۸ مشخص است، با افزایش اختلاف سختی لایه‌ی آسفالتی و لایه‌ی اساس، ضریب شدت تنش  $K_I$  افزایش می‌یابد.

### ۴-۵-آنالیز مدل برای تعیین مقدار $K_{II}$ اعتبارسنجی مدل

در هر کدام از آنالیزهای انجام شده، ضریب  $K_{II}$  نیز محاسبه شده است. از نتایج به دست آمده مشخص می‌شود که در بیشتر مواقع، مقدار این ضریب از ضریب  $K_I$  بسیار کمتر و حدود ۰/۱ آن است و با افزایش فاصله‌ی مرکز بارگذاری از ترک، مقدار آن افزایش می‌یابد. در ادامه، با محاسبه‌ی ضریب  $K$  معادل برای هر دو مدد، نشان داده می‌شود که اثر آن در محاسبه‌ی تعداد تکرار بار ناچیز و قابل صرفه‌زنی است.



شکل ۹ تعیین مقدار ضریب  $K_{II}$  برای نسبت‌های مختلف مدول الاستیسیته لایه‌ی آسفالتی به لایه‌ی اساس (ضخامت لایه‌ی بتن آسفالتی ۲۰۰ سانتی‌متر است)

این شکلها مشخص است، با افزایش طول ترک، تعداد دفعات تکرار بار برای گسترش ترک، کمتر می‌شود. به عبارت دیگر سرعت رشد ترک با افزایش طول ترک به صورت معنی‌داری افزایش می‌یابد.

#### ۹- محاسبه‌ی تعداد تکرار بار N برای رشد ترک

پس از محاسبه‌ی K معادل، تعداد تکرار بار N را برای این‌که طول ترک در هریک از موارد ذکر شده در جدول ۲، از ۶ میلی‌متر به ۳۸ میلی‌متر برسد، می‌توان از رابطه‌ی (۲) به‌دست آورد.

برای به‌دست آوردن تعداد دفعات بارگذاری، از انتگرال رابطه‌ی (۲)، در هر یک از بازه‌های ۱۲,۵-۶,۲۵، ۱۲,۵-۱۰ و ۱۸,۷۵-۱۸,۷۵ و ۳۷,۵-۲۵ و ۲۵-۲۵ میلی‌متر، استفاده می‌شود.

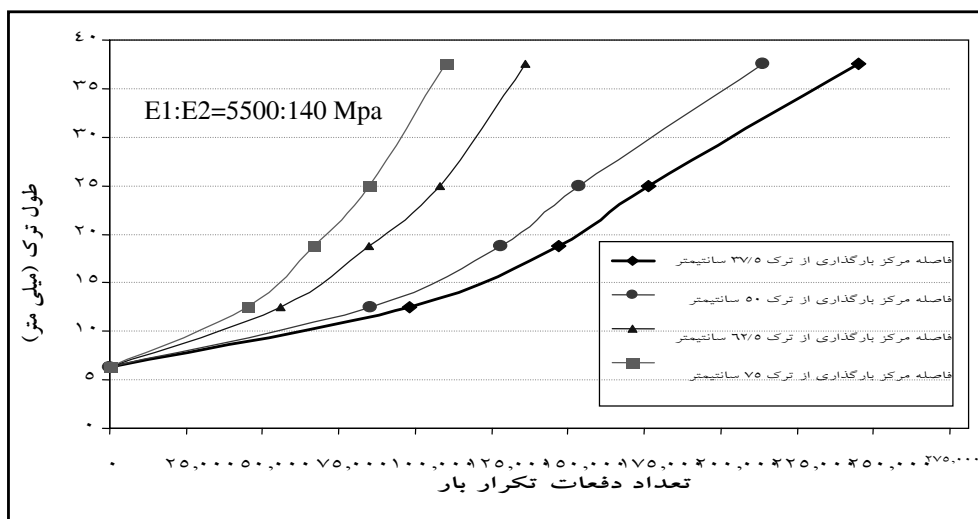
V: ضریب پواسون و E: ضریب الاستیسیته است.

با توجه به موارد بالا برای محاسبه‌ی K معادل، می‌توان ابتدا مقادیر  $K_I$  و  $K_{II}$  که به صورت توابعی از طول ترک است را به‌دست آورد. برای این‌کار یکتابع چند جمله‌ای درجه چهار به نقاط به‌دست آمده از تحلیل، برآزش داده می‌شود. سپس از روابط (۳) و (۴) مقدار K معادل محاسبه می‌شود. خلاصه‌ی نتایج در جدول ۲ ارائه شده است.

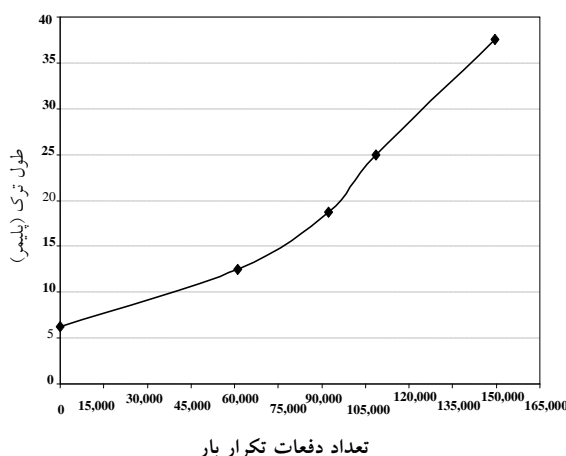
انتگرال مذکور با استفاده از روش عددی سیمپسون محاسبه شده است. با توجه به موارد بالا تعداد تکرار بار برای حالت‌های ذکر شده در جدول ۲، محاسبه شده و در شکل‌های ۱۰ و ۱۱ نشان داده شده است. همان‌طور که از

جدول ۲ محاسبه‌ی K معادل برای حالت‌های مختلف (x= طول ترک به میلی‌متر)، مدول الاستیسیته اساس و آسفالت به ترتیب ۱۴۰ و ۵۵۰۰ مگاپاسکال در نظر گرفته شده است.

K معادل براساس طول ترک [MPa-(mm) <sup>0.5</sup> ]	فاصله مرکز بارگذاری از ترک (cm)	ضخامت لایه آسفالتی (cm)
$K=(-4 \cdot 10^{-5}x^4 + 0,0042x^3 - 0,1505x^2 + 2,094x - 8,06) / (1-v^2)$	۳۷/۵	۲۰
$K=(2 \cdot 10^{-6}x^4 + 0/0001x^3 - 0,0143x^2 + 0,305x - 0,53) / (1-v^2)$	۵۰	۲۰
$K=(-7 \cdot 10^{-5}x^4 + 0,0062x^3 - 0,183x^2 + 2,201x - 6,782) / (1-v^2)$	۶۲/۰	۲۰
$K=(-5 \cdot 10^{-5}x^4 + 0,0046x^3 - 0,139x^2 + 1,716x - 5,14) / (1-v^2)$	۷۵	۲۰
$K=(-9 \cdot 10^{-5}x^4 + 0,0078x^3 - 0,2315x^2 + 2,76x - 9,12) / (1-v^2)$	۶۲/۰	۲۵



شکل ۱۰ تعداد تکرار بار برای رشد ترک از ۶/۲۵ تا ۳۷/۵ میلی متر (ضخامت لایه‌ی آسفالتی، ۲۰ سانتی متر است)



شکل ۱۱ تعداد تکرار بار برای رشد ترک از ۶/۲۵ تا ۳۷/۵ میلی متر (ضخامت لایه‌ی آسفالتی، ۲۵ سانتی متر و فاصله مرکز بارگذاری از ترک، ۶۲/۵ سانتی متر است)

این شکلها مشخص است، با افزایش طول ترک، تعداد دفعات تکرار بار برای گسترش ترک، کمتر می‌شود. به عبارت دیگر سرعت رشد ترک با افزایش طول ترک به صورت معنی‌داری افزایش می‌یابد.

انگرال مذکور با استفاده از روش عددی سیمپسون محاسبه شده است. با توجه به موارد بالا تعداد تکرار بار برای حالت‌های ذکر شده در جدول ۲، محاسبه شده و در شکل‌های ۱۰ و ۱۱ نشان داده شده است. همان‌طور که از

- [2] Schorsh , M. and Chang.C.M. and Baladi.G.Y.,” Effect of Segregation on the Initiation and Propagation of Top-Down Cracks”, proc.82 th Tranaportation Research Board Annual Meeting Washington D.C.,January 2003.
- [3] Holevinsky,J.M., Soon,S.C. and Stolarsky,H.,” Investigation of Factor Related to Surface Initiated Cracks In Flexible Pavement”, Department of Civil Engineering, University of Minnesota,USA, 2000
- [4] Donna Harmelink, and Tim Aschenbrener,” Extent of Top-Down Cracking in Colorado”, Colorado Department of Transportation Research Branch, July 2003
- [5] اکرامی، علی اکبر؛ "غیر شکل و مکانیک شکست مواد و آلیاژهای مهندسی"، انتشارات دانشگاه صنعتی شریف، چاپ اول، ۱۳۸۲
- [6] فرهی، غلامحسین؛ "مکانیک شکست"، انتشارات دانشگاه بوعلی سینا، چاپ اول، ۱۳۷۷
- [7] عامری، محمود؛ "مکانیزم ترک و گسترش آن در رو سازی، طرح مخلوط و ضخامت روکش برای جلوگیری از انعکاس ترک"، مجموعه‌ی مقالات چهارمین کنفرانس بین المللی عمران، جلد سوم، دانشگاه صنعتی شریف، ۱۳۶۷
- [8] Paris, P. and Erdogan, F., “ A critical analysis of crack propagation laws”, Journal of Basic Engineering, Transactions of the American Society of Mechanical Engineers, December 1963, pp. 528-534.
- [9] Leslie A. M., Reynaldo R.,” Evaluation of Top-Down Cracking in Thick Asphalt Pavements and the Implications for Pavement Design”, TRB Committee on General Issues in Asphalt Technology , December. 2001
- [10] ”Implementation of Shrpp Indirect Tension Tester to Mitigate Cracking In Asphalt Pavements And Verlays”, Research Center Florida Department of Transportation, Reynaldo Roque, May 2002.

## ۱۰- نتیجه گیری

نتایج حاصل از آنالیزهای انجام شده عبارتند از:

- با توجه به تفاوت معنی‌دار مقدار ضربی شدت تنش در مدل I و مدل II، مشخص می‌شود که مدل II که سازوکار برشی دارد، قابل صرف‌نظر کردن است.
- شب سختی بتن آسفالتی که ناشی از اختلاف دمای سطح بالایی و پایینی آن است، باعث افزایش ضربی شدت تنش می‌شود.
- با افزایش فاصله‌ی محل اعمال بار از ترک ابتدایی ایجاد شده، مقادیر ضربی شدت تنش در مدل I و مدل II افزایش می‌یابد به عبارت دیگر، موقعیت بحرانی اعمال بار، برخلاف انتظار، در مجاورت ترک واقع نشده است.
- مقدار ضربی شدت تنش مدل II، با افزایش فاصله‌ی محل اعمال بار از ترک، افزایش می‌یابد و مقدار آن به  $0/1$  مقدار ضربی شدت تنش مدل I می‌رسد.
- افزایش اختلاف سختی لایه‌ی بتن آسفالتی و لایه‌ی اساس باعث افزایش ضربی شدت تنش  $K_I$  می‌شود.
- افزایش مدول الاستیسیته مقطع بتن آسفالتی باعث افزایش ضربی شدت تنش در نوک ترک می‌شود در نتیجه، سرعت پیشروی ترک در رو سازی، افزایش می‌یابد.

- روش‌های طراحی رو سازی موجود، باید بهبود یابند، به گونه‌ای که بتوانند اثر وجود ترک در رو سازی و شب سختی مقطع بتن آسفالتی را با توجه به نقش آنها در افزایش مقدار تنش‌ها در طراحی مدنظر قرار دهند.

## ۱۱- منابع

- [۱] طباطبائی، امیر محمد، "رو سازی راه"، مرکز نشر دانشگاهی، ۱۳۷۷